

## پردازش ارتعاشات محیطی به روش شناسایی تصادفی زیرفضا

شروان عطایی<sup>۱</sup>، سیامک اسماعیلزاده‌خادم<sup>۲</sup> و محمدصادق معرفت

**چکیده:** برای انجام آزمایش‌های ارتعاشی روی سازه‌های با مقیاس بزرگ و پیچیده اتخاذ استراتژی‌های خاصی مورد نیاز است. زیرا استفاده از منابع تحریک مصنوعی چون تکان دهنده‌ها (Shakers) یا وزنه‌ی رهاسه اغلب غیرعملی و گران است. حال آنکه تحریک‌های محیطی بوسیله‌ی باد و ترافیک براحتی در دسترس و قابل استفاده می‌باشد. لکن این نوع تحریک‌های ناشناخته هستند لذا شناسایی سیستم تنها باید مبتنی بر اطلاعات خروجی صورت پذیرد. در این مقاله روش شناسایی تصادفی زیرفضا برای این نوع مسائل ارایه می‌شود و کارآیی آن در تحلیل سیگنانلهای ارتعاشی یک پل راه آهن نشان داده می‌شود.

**واژه‌های کلیدی:** شناسایی ازروی خروجی، شناسایی تصادفی سیستم، شناسایی تصادفی زیرفضا، ارتعاشات محیطی، فرکانس ارتعاشی، آزمایش دینامیکی، پل راه آهن

کیفی بودن انتخاب فرکانس ارتعاشی، فقدان تخمین صحیح از میرایی و تعیین تغییر شکلهای حین کار به جای شکلهای مودی می‌باشد. روش شناسایی تصادفی زیرفضا که توسط ون اورشی<sup>۱</sup> و دی مور<sup>۲</sup> [۲] پیشنهاد شده است، روش توسعه یافته‌ای است که به عنوان جایگزین برای روش‌های کلاسیک مطرح شده است. در این روش مدل تصادفی فضای حالت از اندازه‌گیریهای خروجی سیستم محاسبه می‌شود. گام کلیدی در روش شناسایی تصادفی زیرفضا محاسبه تصویر ماتریس خروجی‌ها بر خروجی‌های گذشته می‌باشد.

### ۲. مدل‌های تصادفی فضای حالت

ارتعاش یک سازه که با نویفری سفید تحریک شده است را می‌توان با مدل تصادفی فضای حالت مدلسازی نمود [۱].

$$\begin{aligned}x_{k+1} &= Ax_k + w_k \\y_k &= Cx_k + v_k \\E\left[\begin{pmatrix}w_p \\v_p\end{pmatrix}\right] &= \begin{pmatrix}Q & S \\S^T & R\end{pmatrix} \delta_{pq}\end{aligned}\quad (1)$$

که  $y_k \in R^{l \times 1}$  اندازه گیری  $l$  خروجی در زمان  $k$  ام ( $t = k \Delta t, k \in N$ ) می‌باشد و  $x_k \in R^{n \times 1}$  بردار حالت است. اگر مدل فضای حالت مبین سازه‌ای با  $n_2$  درجه آزادی باشد،  $n = 2n_2$  خواهد بود و مین مغایرها می‌باشد. مین مغایرها مستقل مورد نیاز برای مدلسازی سیستم می‌باشد.

بردار  $w_R \in R^{l \times 1}$  نویز فرایند بدلیل عدم قطعیت در مدلسازی می‌باشد و در اینجا بیانگر ورودی نویز سفید هم می‌باشد. بردار

### ۱. مقدمه

در این مقاله، روش شناسایی تصادفی زیرفضا برای شناسایی سیستم‌های سازه‌ای مورد بحث قرار می‌گیرد [۱]. منظور از شناسایی عبارتست از استخراج پارامترهای سیستم مثل فرکانسهای طبیعی، نسبتهای میرایی و شکلهای مودی و منظور از تصادفی بودن این است که سازه با نیروهای ورودی ناشناخته تحریک شده است که فرض می‌شود نویفری سفید است. لذا با اندازه گیری خروجی سیستم می‌توان آن را شناسایی کرد و برای عیب‌یابی سازه مورد استفاده قرار داد. روش متداول در حوزه مهندسی عمران برای شناسایی سازه‌ها از روی اندازه گیری خروجی، محاسبه چگالی طیفی متقطع سیگنانلهای خروجی می‌باشد. سیگنانلهای اندازه گیری شده با تبدیل منفصل فوریه به فضای فرکانسی انتقال داده شده و پیکهای موجود در اندازه طیف متقطع سیگنانلهای بعنوان فرکانس ارتعاشی سازه تلقی می‌گردد. امتیاز این روش سادگی آن می‌باشد بطوریکه امکان محاسبه همزمان با اندازه گیری را می‌سوزد. معایب این روش

---

نسخه اصلی مقاله در تاریخ ۱۳۸۱/۹/۳ واصل، و پس از بازنگریهای لازم، در تاریخ ۱۳۸۲/۲/۲۰ به تصویب نهایی رسیده است.  
سرپرستی داوری‌ها توسط دیر تخصصی، دکتر شجاعی فرد صورت گرفته و مقاله توسط ایشان برای چاپ توصیه شده است.  
شروان عطایی، دانشجوی دکترا سازه، دانشکده فنی و مهندسی دانشگاه تربیت مدرس.

دکتر سیامک اسماعیل‌زاده‌خادم، استاد گروه مکانیک، دانشکده فنی و  
مهندسی دانشگاه تربیت مدرس. khadem@modares.ac.ir  
دکتر محمدصادق معرفت، دانشیار گروه عمران، دانشکده فنی و مهندسی  
دانشگاه تهران.

<sup>۱</sup> Van Overschee  
<sup>۲</sup> De Moor

$$\begin{aligned} Y_f Y_P^T (1:l, 1:l) &= \\ \sum_{k=0}^{j-1} \frac{1}{\sqrt{j}} y_{k+i} \frac{1}{\sqrt{j}} y_k^T &= \\ \frac{1}{j} \sum_{k=0}^{j-1} y_{k+i} y_k^T &= \Lambda_i \end{aligned} \quad (6)$$

صحت رابطه (۶) وقتی تضمین می‌شود که اطلاعات ارگودیک بوده و شامل بینهایت اطلاعات باشد ( $j \rightarrow \infty$ ). اگر هر یک از این شرایط ارضاء نگردد، رابطه (۶) برابر کواریانس خروجی نخواهد بود بلکه تنها تخمینی از آن می‌باشد.

الگوریتم با تصویر کردن خروجی‌های آینده بر خروجی‌های گذشته ادامه پیدا می‌کند. این تصویر کردن بصورت رابطه (۷) تعریف می‌گردد و از نظر عملی از روش تجزیه RQ محاسبه می‌شود [۴].

$$P_i = Y_f / Y_P = Y_f Y_P^T (Y_P Y_P^T)^* Y_P \quad (7)$$

که منظور از  $(\cdot)^*$  (.) شبه معکوس ماتریس<sup>۳</sup> می‌باشد. ایده تصویر کردن بخارتر اینست که با قیماندۀ آن برابر اطلاعاتی است که با داشتن آنها در گذشته می‌توان آینده را پیش بینی نمود. تئوری اصلی روش شناسایی تصادفی زیرفضا بیان می‌دارد که تصویر  $P_i$  را می‌توان به حاصلضرب ماتریس مشاهده پذیری ( $O_i$ ) و دنباله حالت فیلتر کالمون  $\hat{X}_i$  تبدیل کرد (رابطه ۸).

$$P_i = \begin{pmatrix} C \\ CA \\ CA^2 \\ \vdots \\ CA^{i-1} \end{pmatrix} \begin{pmatrix} \hat{X}_i & \hat{X}_{i+1} & \dots & \hat{X}_{i+j-1} \end{pmatrix} = O_i \hat{X}_i \quad (8)$$

بطور کلاسیک، هدف از فیلتر کالمون، پیش بینی بهینه بودار حالت  $X_{k+1}$  به کمک مشاهده خروجی تا زمان  $k$  و دانستن ماتریسهای سیستم و کواریانس نویز می‌باشد. این پیش بینی بهینه بصورت  $\hat{X}_{k+1}$  نمایش داده می‌شود. هر دو ماتریس رابطه (۸) یعنی ماتریس مشاهده پذیری ( $O_i$ ) و دنباله حالت  $i$   $\hat{X}_i$  بوسیله تجزیه مقادیر تکین<sup>۴</sup> ماتریس تصویر به دست می‌آید.

$$P_i = USV^T = (U_1 \ U_2) \begin{bmatrix} S_1 & 0 \\ 0 & 0 \end{bmatrix} \begin{bmatrix} V_1^T \\ V_2^T \end{bmatrix} = U_1 S_1 V_1^T \quad (9)$$

که در آن  $v \in R^{l_i \times l_i}$  و  $u \in R^{l_i \times l_i}$  باشند ( $V^T V = VV^T = I_{l_i}$ ) و ( $U^T U = UU^T = I_{l_i}$ ) ماتریس قطعی است که مقادیر تکین به ترتیب نزولی روى قطر آن قرار دارد. با توجه به این که بعد داخلی حاصلضرب  $O_i \hat{X}_i$  برابر  $n$  می‌باشد و فرض می‌شود که  $l_i \geq n$  باشد، مرتبه این حاصلضرب بیشتر از  $n$  نخواهد بود. مرتبۀ ماتریس بصورت تعداد مقادیر تکین غیر صفر بدست می‌آید. مقادیر تکین رابطه (۹) و بدارهای تکین متناظر آنها حذف می‌شود و با ترکیب رابطه (۸) و (۹) رابطه (۱۰) حاصل خواهد شد.

$v_R \in R^{l_i \times 1}$  نویز اندازه‌گیری بدلیل عدم قطعیت در مشاهده می‌باشد. دو بدرار  $w_k, v_k$  غیرقابل اندازه‌گیری هستند و فرض می‌شود میانگین آنها صفر است و کواریانس آنها مطابق رابطه (۱) می‌باشد.  $A \in R^{n \times n}$  ماتریس حالت می‌باشد که دینامیک سیستم را تبیین می‌کند،  $C \in R^{l_i \times n}$  ماتریس خروجی است که میان چگونگی تبدیل حالت داخلی به مشاهده‌ی خارجی می‌باشد.

فرض می‌شود فرایند تصادفی مانا، با میانگین صفر است  $E[x_k] = 0, E[x_k x_k^T] = \Sigma$  (۲) که کواریانس حالت ( $\Sigma$ ) مستقل از زمان است. همچنین  $w_k, v_k$  مستقل از حالت هستند  $E[x_k w_k^T] = 0, E[x_k v_k^T] = 0$  (۳) و کواریانس خروجی با تاخیر  $i$  ( $\Lambda_i$ ) و کواریانس خروجی با حالت بعدی با ماتریس  $G$  تعریف می‌شوند.

$$\begin{aligned} \Lambda_i &= E[y_{k+1} y_k^T] \\ G &= E[x_{k+1} y_k^T] \end{aligned} \quad (2)$$

با توجه به تعاریف مذکور، خواص ذیل استنباط می‌گردد.

$$\Sigma = A \Sigma A^T + Q \quad (3)$$

$$G = A \Sigma C^T + S \quad (4)$$

$$\Lambda_0 = C \Sigma C^T + R \quad (4)$$

رابطه (۴) ویژگی مهمی است و میان این است که کواریانس خروجی را می‌توان پاسخ ضربۀ یک سیستم خطی تغییرناپذیر زمانی غیر تصادفی  $\Lambda_0, C, G, A$  تلقی نمود.

### ۳. شناسایی تصادفی زیرفضا [۳]

اندازه‌گیری‌های خروجی در ماتریس هنکل ( $H \in R^{2l_i \times j}$ ) جمع می‌شود که  $2l_i$  بلاک  $l_i$  تایی در هر ردیف و  $j$  ستون دارد. بدلیل احتمالاتی فرض می‌شود که تعداد ستونها بینهایت است ( $j \rightarrow \infty$ ). ماتریس هنکل را می‌توان به دو قسمت گذشته و آینده تقسیم بندی کرد.

$$H = \frac{1}{\sqrt{j}} \begin{bmatrix} y_0 & y_1 & \dots & y_{i-1} \\ y_1 & y_2 & \dots & y_j \\ \vdots & & & \vdots \\ y_{i-1} & y_i & \dots & y_{i+j-2} \\ y_i & y_{i+1} & \dots & y_{i+j-1} \\ y_{i+1} & y_{i+2} & \dots & y_{i+j} \\ \vdots & & & \vdots \\ y_{2i-1} & y_{2i} & \dots & y_{2i+j-2} \end{bmatrix} = \begin{bmatrix} Y_{0|i-1} \\ Y_{1|2i-1} \\ \vdots \\ Y_{j|2i-1} \end{bmatrix} = \begin{bmatrix} Y_{Past} \\ Y_{Future} \end{bmatrix} \quad (5)$$

باید توجه داشت که دلیل مقیاس کردن اطلاعات خروجی با ضرب  $\frac{1}{\sqrt{j}}$  اینست که با تعریف کواریانس ( $\Lambda_i$ ) در رابطه (۲) سازگار باشد. بنابر این برای مقیاس کردن می‌توان  $l_i$  ردیف و  $j$  ستون نخست حاصلضرب  $Y_f Y_P^T$  را ماتریس کواریانس انگاشت.

<sup>3</sup> pseudo-inverse

<sup>4</sup> Singular Value Decomposition

$$A = \Psi D \Psi^{-1} \quad (17)$$

$D \in C^{n \times n}$  ماتریس قطری می باشد که مقادیر ویژه مختلط منفصل روی قطر آن قرار دارد ( $\lambda_i$ ) و  $\Psi \in C^{m \times n}$  شامل بردارهای ویژه می باشد. مقادیر ویژه پیوسته بصورت زیر از روی مقادیر ویژه گسسته قابل محاسبه می باشد [1].

$$\lambda_i^c = \frac{\ln(\lambda_i)}{\Delta t} \quad (18)$$

که بصورت جفت‌های مزدوج مختلط به شکل زیر می باشد.

$$\lambda_i^c, \lambda_i^{c*} = -\zeta_i w_i \pm j w_i \sqrt{1 - \zeta_i^2} \quad (19)$$

که  $\zeta_i$  نسبت میرایی مود  $i$  و  $w_i$  فرکانس طبیعی سیستم می باشد.

شکلهای مودی در موقعیت سنسورها ( $\Phi$ )، قسمت مشاهده شده

از بردارهای ویژه سیستم می باشد و عبارتست از:

$$\Phi = C \Psi \quad (20)$$

## ۵. آزمایش ارتعاش محیطی پل راه آهن

جهت تعیین عمر باقیماندهی پل‌های راه‌آهن، تقویت لرزه‌ای، تعمیر و نگهداری پیش‌بینانه، افزایش بار محوری، سرعت و ایمنی، راهی جز وضعیت‌سنگی پل‌ها نمی‌باشد. وضعیت‌سنگی از روی ارتعاشات ناشی از عبور قطار، یک روش مناسب و اقتصادی می‌باشد که مورد توجه محققین زیادی قرار گرفته است. بدین منظور یک پل قوسی بتنی غیرمسلح مورد آزمایش قرار گرفت. از زمان ساخت این پل بیش از ۶۰ سال می‌گذرد و عمر مفید طراحی آن سپری شده است. ترک بزرگی در وسط دهانه‌ی پل (کلید قوس) وجود دارد که سرویس‌دهی پل را با تردید مواجه کرده است. از این‌رو جهت وضعیت‌سنگی پل یک سری آزمایش استاتیکی و دینامیکی روی پل انجام گردید [۵]. پل مزبور در کیلومتر ۲۴ راه آهن تهران - قم قرار دارد. پل دارای پنج دهانه‌ی شش متري بوده که بدليل شباهت دهانه‌ها و وجود درز انبساط بین دهانه‌ی پل‌ها تنها ارتعاشات دهانه‌ی میانی آن مورد اندازه‌گیری قرار گرفت. سیگنال‌های شتاب اندازه‌گیری شده در آزمایش‌های دینامیکی به روش شناسایی تصادفی زیرفضا مورد پردازش قرار گرفت. در آزمایش‌های دینامیکی، یک دیزل ۶ محوره ۱۲۰ تنی با سرعت‌های ۱۰ الی ۹۰ کیلومتر بر ساعت ده مرتبه از روی پل عبور داده شد (شکل ۱). تعداد ۵ کanal اندازه‌گیری الکترونیکی برای ثبت شتاب و تغییرمکان بکار گرفته شد. دو کanal مربوط به شتاب سنجهای قائم واقع در طرفین ترک موجود در کلید قوس، دو کanal مربوط به تغییرمکان سنج های قائم طرفین ترک کلید قوس و یک کanal مربوط به تغییرمکان سنج ترک ثبت کننده تغییرات عرض ترک بکار گرفته شد (شکل ۲) داده سنج ثبت کننده تغییرات عرض ترک بکار گرفته شد (شکل ۲) داده برداری اطلاعات با سرعت ۵۰۰ هرتز انجام گرفت و مجموعاً ۵۰ سیگنال با طولهای ۸ الی ۲۰ ثانیه ضبط شد. سیگنالهای شتاب جهت تعیین فرکانسهای ارتعاشی پل مورد پردازش قرار گرفت.

$$O_i = U_1 S_i^{\frac{1}{2}} \quad (10)$$

$\hat{X}_i = O_i^* P_i$  تا این مرحله درجه سیستم (n) را که مقادیر تکین غیر صفر رابطه (۹) می‌باشد، ماتریس مشاهده‌پذیری  $O_i$  و دنباله حالت  $\hat{X}_i$  محاسبه شده است. اما هدف اصلی تعیین ماتریسهای سیستم یعنی  $S, R, Q, C, A$  می‌باشد.

اگر تقسیم بندی ماتریس هنکل بین خروجی‌های آینده و گذشته در رابطه (۵)، یک ردیف به طرف پایین جابجا شود می‌توان ماتریس تصویر دیگری بصورت رابطه (۱۱) تعریف نمود.

$$P_{i-1} = Y_f^- / Y_p^+ = \hat{Y}_{i+1|2:i-1} / Y_{0|i} = O_{i-1} \hat{X}_{i+1} \quad (11)$$

که ماتریس  $O_{i-1}$  با حذف  $I$  ردیف آخر ماتریس  $O_i$  بدست می‌آید و دنباله حالت جابجا شده مطابق رابطه (۱۲) محاسبه می‌گردد.

$$\hat{X}_{i+1} = O_{i-1}^* P_{i-1} \quad (12)$$

بنابراین دنباله حالت کالمون  $\hat{X}_{i+1}$  تنها بكمک اطلاعات خروجی مورد محاسبه قرار می‌گیرد. ماتریسهای سیستم را می‌توان با حل معادلات خطی (۱۳) به روش حداقل مربعات تعیین نمود.

$$\begin{bmatrix} \hat{X}_{i+1} \\ Y_{i|i} \end{bmatrix} = \begin{pmatrix} A \\ C \end{pmatrix} \hat{X}_i + \begin{pmatrix} W_i \\ V_i \end{pmatrix} \quad (13)$$

که  $Y_{i|i}$  ماتریس هنکل با یک ردیف است و  $W_i, V_i$  باقیمانده های حداقل مربعات می‌باشد. از آنجاییکه دنباله حالت و خروجی معلوم است و باقیمانده های  $(W_i^T \ V_i^T)^T$  با  $\hat{X}_i$  ناهمبسته می‌باشد مجموعه معادلات برای ماتریسهای  $C, A$  به روش حداقل مربعات بصورت زیر قابل حل می‌باشد.

$$\begin{pmatrix} A \\ C \end{pmatrix} = \begin{pmatrix} \hat{X}_{i+1} \\ Y_{i|i} \end{pmatrix} \hat{X}_i^* \quad (14)$$

کواریانس نویز  $S, R, Q$  با محاسبه کواریانس باقیمانده‌ها  $S, R, Q$  قابل محاسبه است. ماتریسهای سیستم  $A, C, G, A, \Lambda_0$  را می‌توان به ماتریسهای  $A, C, G, A, \Lambda_0$  تبدیل کرد. این تبدیل با حل معادله لیپاونوف قابل انجام است.

$$\sum = A \sum A^T + Q \quad (15)$$

و ماتریسهای  $G$  و  $\Lambda_0$  بصورت زیر تعیین می‌گردد.

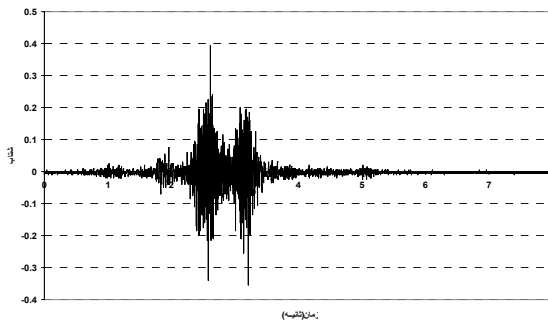
$$G = A \sum C^T + S \quad (16)$$

$$\Lambda_0 = C \sum C^T + R$$

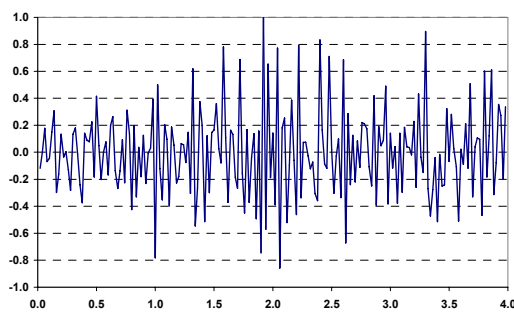
بنابراین مساله شناسایی حل شده و ماتریسهای سیستم  $A, C, G, A, \Lambda_0$  و مرتبه سیستم (n) به کمک خروجی تعیین می‌گردد.

## ۴. تحلیل مodal

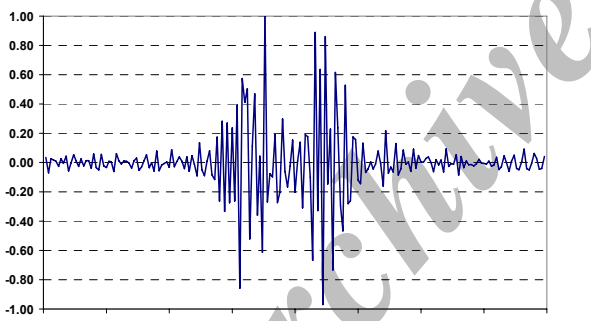
تخمین پارامترهای مodal با تجزیه ماتریس حالت A آغاز می‌شود.



شکل ۳. سیگنال شتاب کلید پل زیر اثر حرکت دیزل با سرعت ۹۰ کیلومتربرساعت



شکل ۴. سیگنال شتاب نرمال و فیلتر شده کلید پل زیر اثر حرکت دیزل با سرعت ۱۰ کیلومتربرساعت



شکل ۵. سیگنال شتاب نرمال و فیلتر شده کلید پل زیر اثر حرکت دیزل با سرعت ۹۰ کیلومتربرساعت

در روش نخست، چگالی طیفی متقطع دو شتاب سنج موجود در هر ده آزمایش مورد محاسبه قرار گرفت و میانگین گیری گردید [۵]. در روش دوم از الگوریتم شناسایی زیرفضای تصادفی ارائه شده در این مقاله استفاده شد.

میانگین تابع چگالی طیفی متقطع ۱۰ آزمایش در شکل (۶) نشان داده شده است. محور افقی مبین فرکانس (هرتز) و محور عمودی مبین اندازه‌ی تابع چگالی طیفی متقطع می‌باشد. از این روش، فرکانس اول سازه ۱۴/۹۵ هرتز محاسبه گردید.



شکل ۱. دیزل ۱۲۰ تنی در ابتدای پل قوسی بتنی کیلومتر ۲۴ راه آهن تهران-قم



شکل ۲. ترک در محل کلید قوس و تغییر مکان سنج ها و یکی از شتاب سنج های نصب شده در طرفین ترک

با توجه به بازه‌ی ارتعاشات، شتاب سنج ها از نوع ۵g انتخاب گردید. در شکل (۳) نمونه‌ای از سیگنال شتاب قائم وسط دهانه‌ی پل (کلید پل)، تحت اثر عبور قطار با سرعت ۹۰ کیلومتر بر ساعت مشاهده می‌شود. محور افقی مبین زمان (ثانیه) و محور عمودی مبین شتاب در حسب درصدی از شتاب گرانشی زمین (g) می‌باشد.

بنمنظور انجام تحلیل با تمرکز فرکانسی صفر تا ۲۵ هرتز، فرکانس قرائت سیگنال های شتاب از یک فیلتر پایین گذر عبور داده شد. همچنین سیگنال شتاب نسبت به حداقل شتاب در هر آزمایش ها نرمال گردید. در شکلهای (۴) و (۵) نمونه ای از سیگنالهای شتاب نرمال و فیلتر شده، مشاهده می‌شود.

برای کنترل نتایج، فرکانس ارتعاشی سازه از دو روش مورد محاسبه قرار گرفت. در روش نخست، چگالی طیفی متقطع دو شتاب سنج موجود در هر ده آزمایش مورد محاسبه قرار گرفت و میانگین گیری گردید [۵]. در روش دوم از الگوریتم شناسایی زیرفضای تصادفی ارائه شده در این مقاله استفاده شد.

میانگین تابع چگالی طیفی متقطع ۱۰ آزمایش در شکل (۶) نشان داده شده است. محور افقی مبین فرکانس (هرتز) و محور عمودی مبین اندازه‌ی تابع چگالی طیفی متقطع می‌باشد. از این روش، فرکانس اول سازه ۱۴/۹۵ هرتز محاسبه گردید.

برای کنترل نتایج، فرکانس ارتعاشی سازه از دو روش مورد محاسبه قرار گرفت.

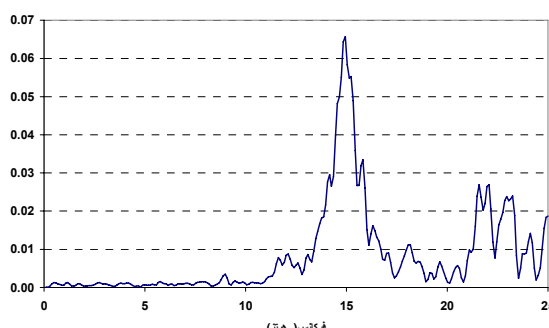
توان فرکانس‌های ارتعاشی، میرایی و شکلهای مودی سازه را تخمین زد. به کمک این روش و با افزایش تعداد سیگنالهای ثبت شونده و تعداد آزمایشها، می‌توان نتایج دقیقتری از آزمایش ارتعاشات محیطی بدست آورد.

در این مقاله از روی تجزیه RQ و تجزیه مقادیر تکین تصویر خروجی‌های آینده بر خروجی‌های گذشته، درجه سیستم و دنبالهٔ حالت کالم‌من تعیین شده و سپس بوسیلهٔ روش حداقل مربعات ماتریس‌های سیستم مشخص گردید و پارامترهای مودال از روی ماتریس‌های سیستم محاسبه شد.

### مراجع

- [1] Peeters B., "System identification and damage detection in civil engineering", Ph. D. thesis, Katholieke University Leuven , Dec. 2000.
- [2] Overshee P.Van, Moor, B. De, "Subspace identification for linear systems: theory-implementation-applications", Kluwer Academic Publishers, Dordrecht, Netherlands, 1996.
- [3] Peeters B., Roeck G.De, "Reference based stochastic subspace identification in civil Engineering, Inverse problems in Engineering", 1999, pp.1-28
- [4] The Math works, *Using Matlab*, version 5.3 Natick, MA, USA, 1999

[۵] معرفت محدصادق، "آزمایش بارگذاری پلهای بتُنی راه آهن، گروه خط و بنیه"، مرکز تحقیقات راه آهن جمهوری اسلامی ایران، ۱۳۷۹



شکل ۶. میانگین تابع چگالی طیفی متقاطع سیگنالهای شتاب

همچنین روش شناسایی تصادفی زیر فضا، روی سیگنالهای شتاب هر آزمایش بطور جداگانه اعمال شد و میانگین فرکانس اول محاسبه گردید. در این تحلیل ۲۰ بلاک در نظر گرفته شد و طول سیگنال برابر ۲۰۰ داده منظور گردید. درجه مدل نیز ۶ فرض شد. ماتریس هنکل سیگنالهای شتاب هر آزمایش محاسبه و فرکانس‌های ارتعاشی و درصد میرایی تعیین گردید. میانگین فرکانس ارتعاشی اول سازه برابر ۱۴/۸۲ هرتز و درصد میرایی برابر ۳/۶ درصد تخمین زده شد. همانطور که ملاحظه می‌گردد، تطابق قابل قبولی بین نتایج دو روش مشاهده می‌شود.

### ۶. نتیجه گیری

روش شناسایی تصادفی زیرفضا روش مناسبی در شناسایی پارامترهای سازه مرتضع با تحریک محیطی می‌باشد. در این روش مدل فضای حالت سیستم تخمین زده می‌شود که از روی آن می-